

JP

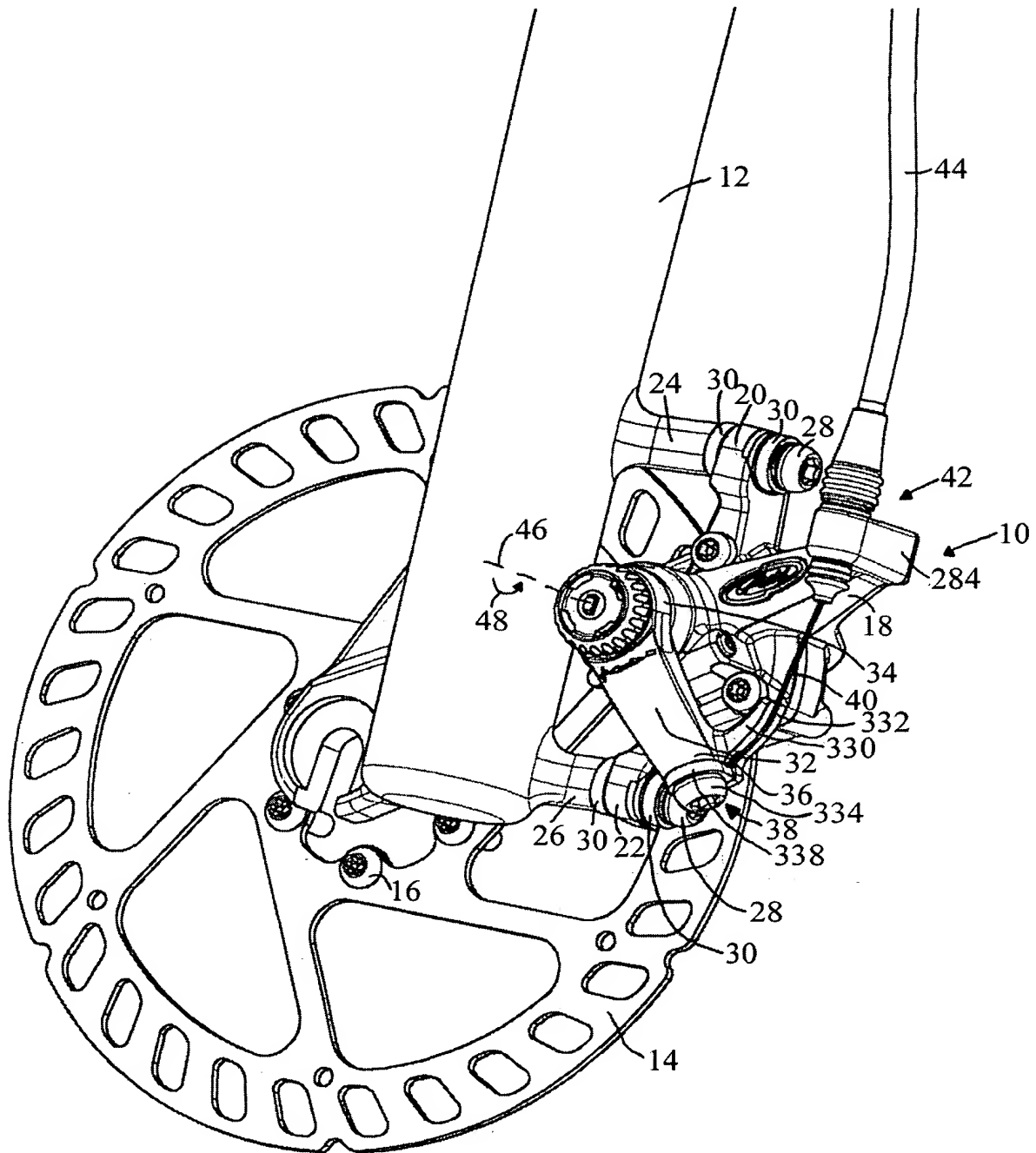


Fig. 1

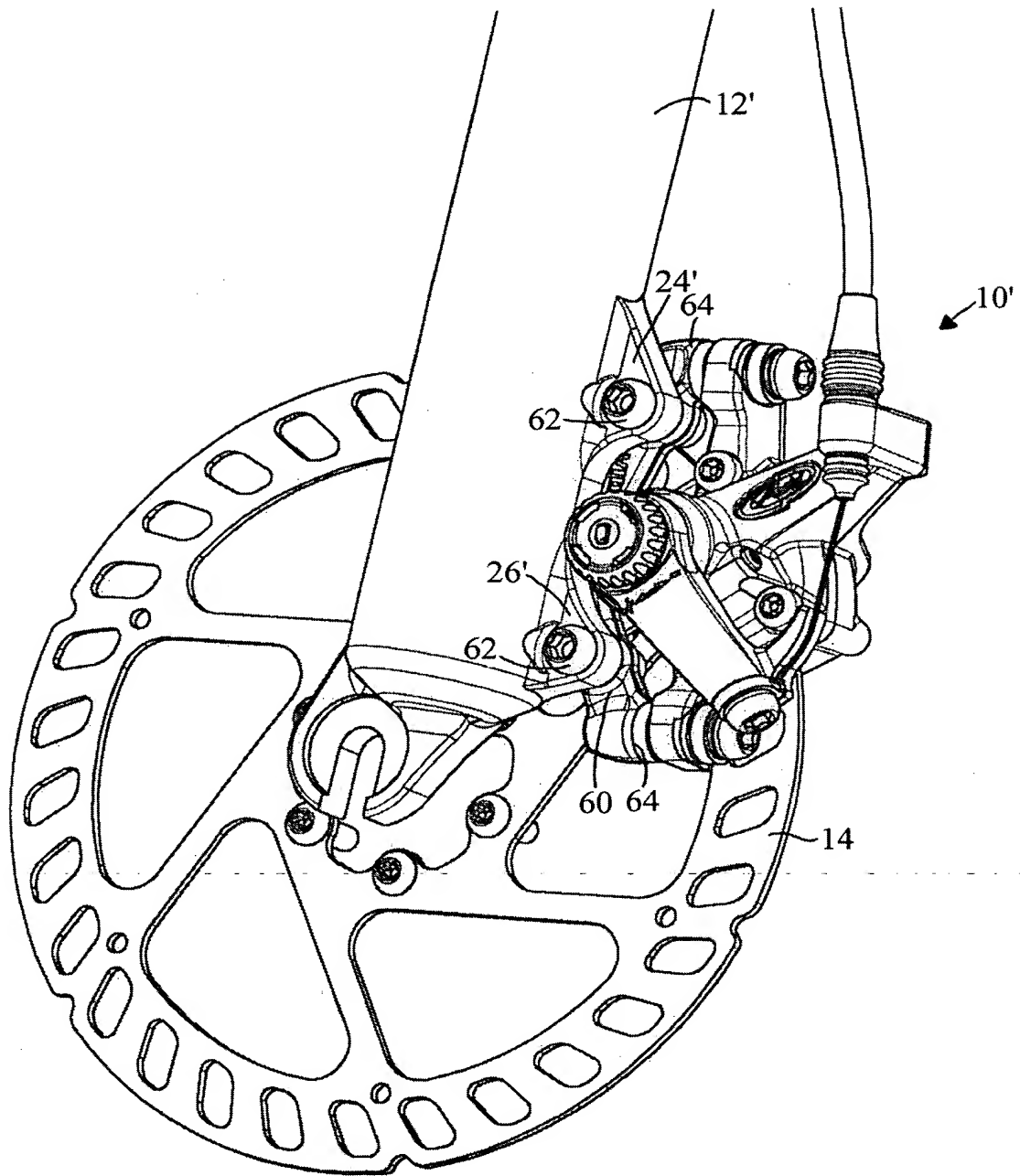


Fig. 2

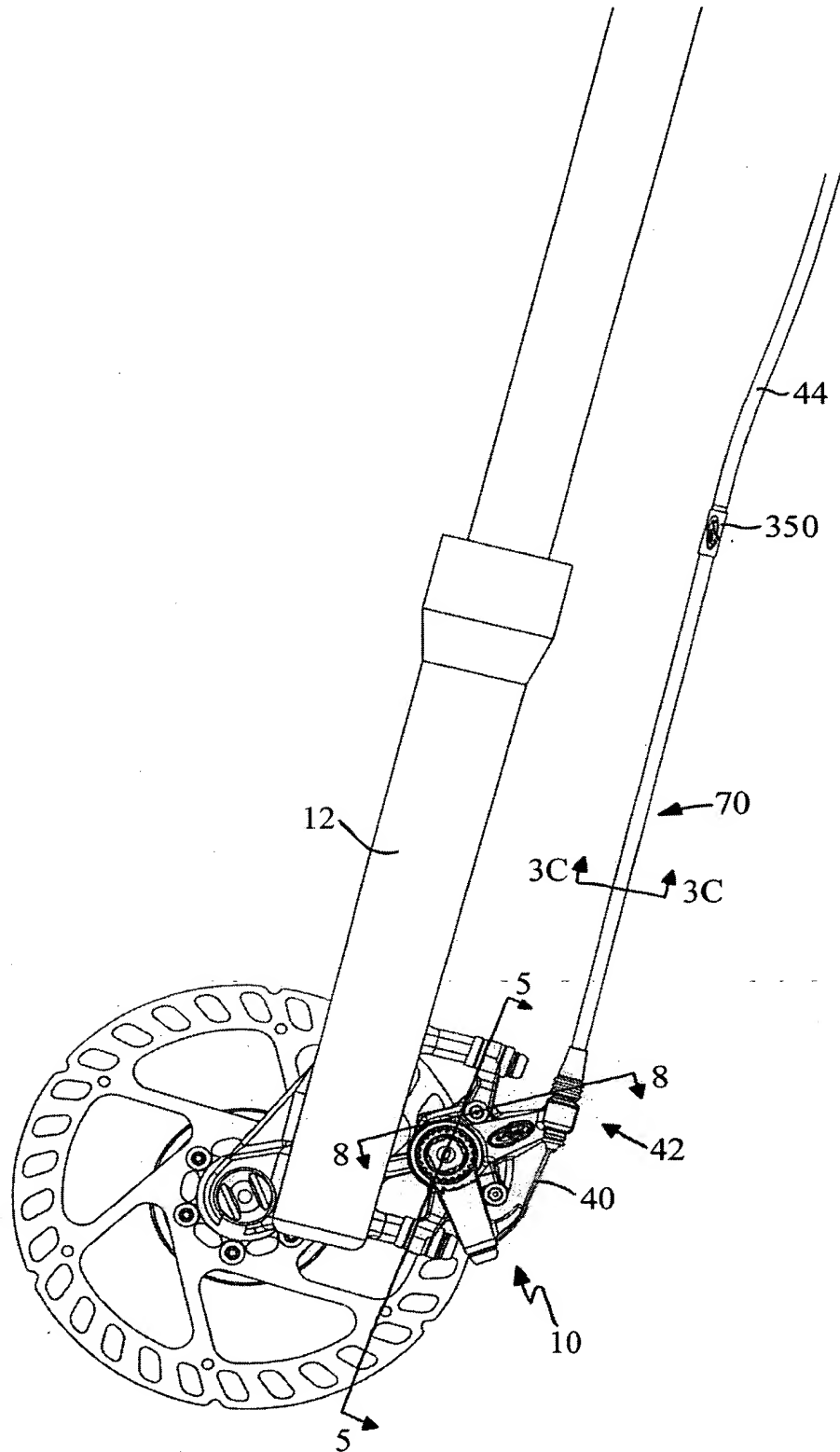


Fig. 3A

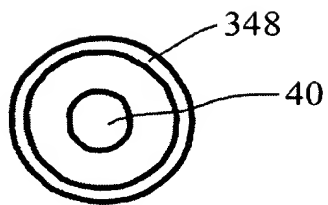


Fig. 3C

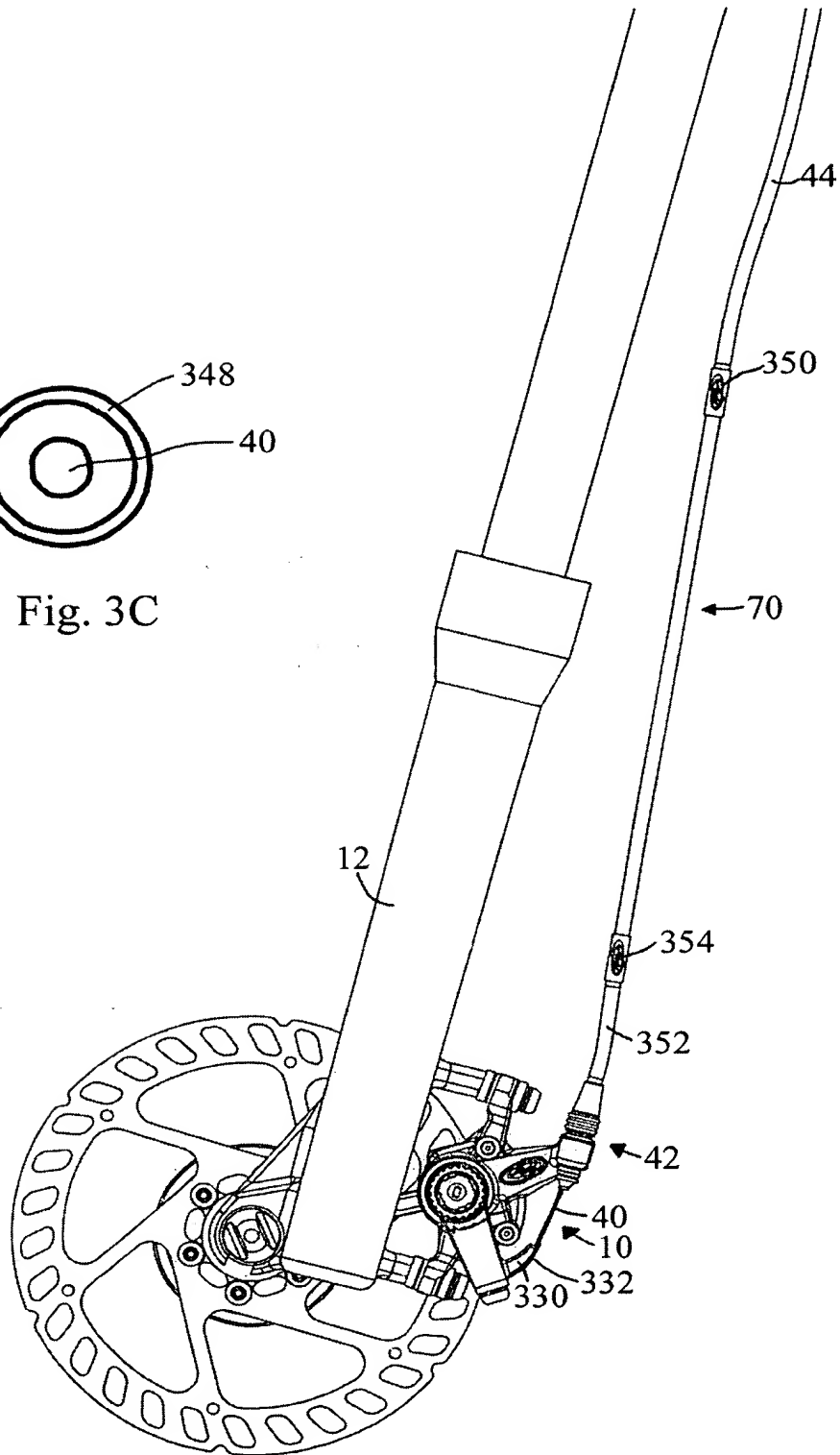
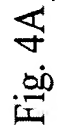


Fig. 3B



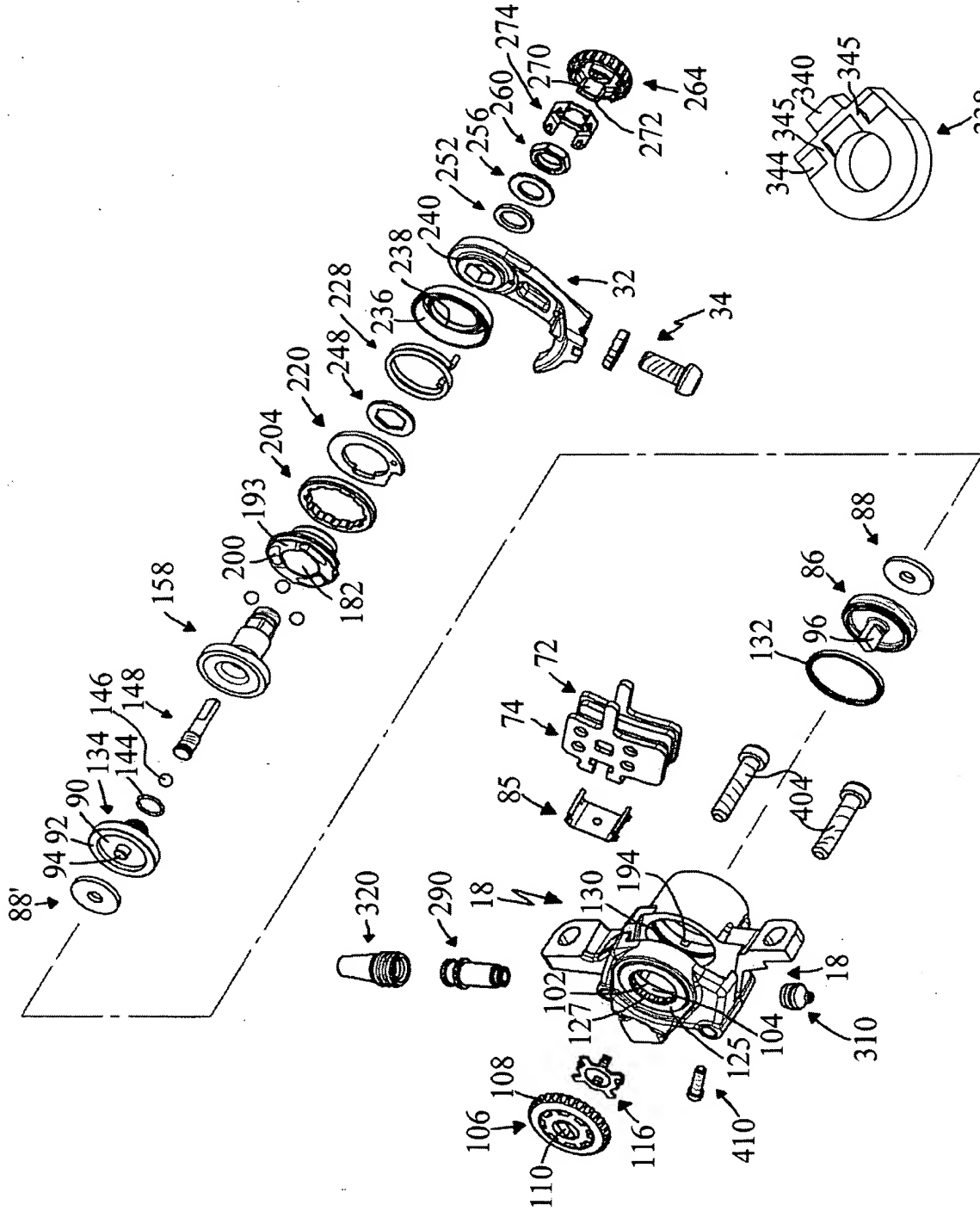


Fig. 4C

Fig. 4B

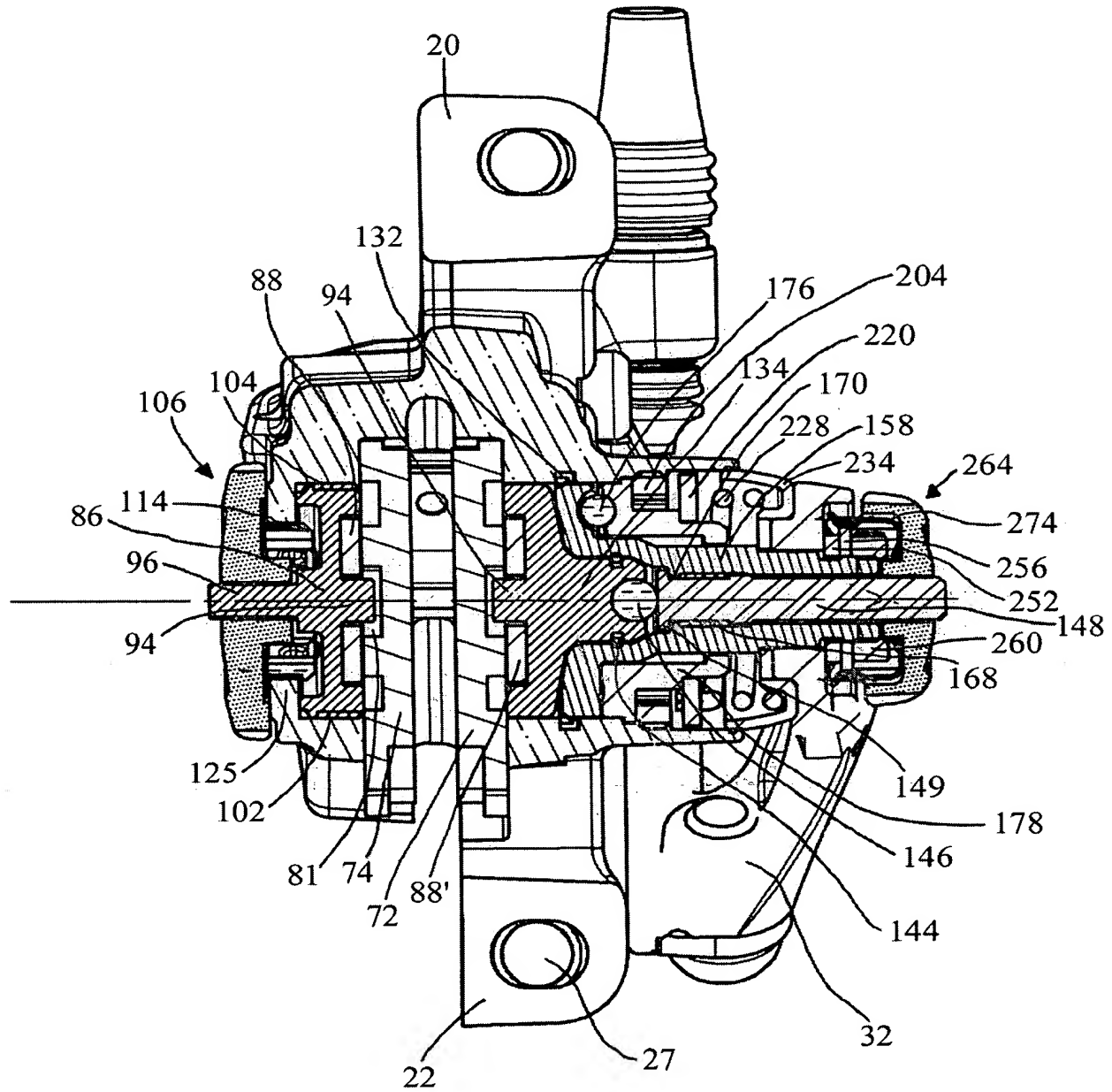


Fig. 5

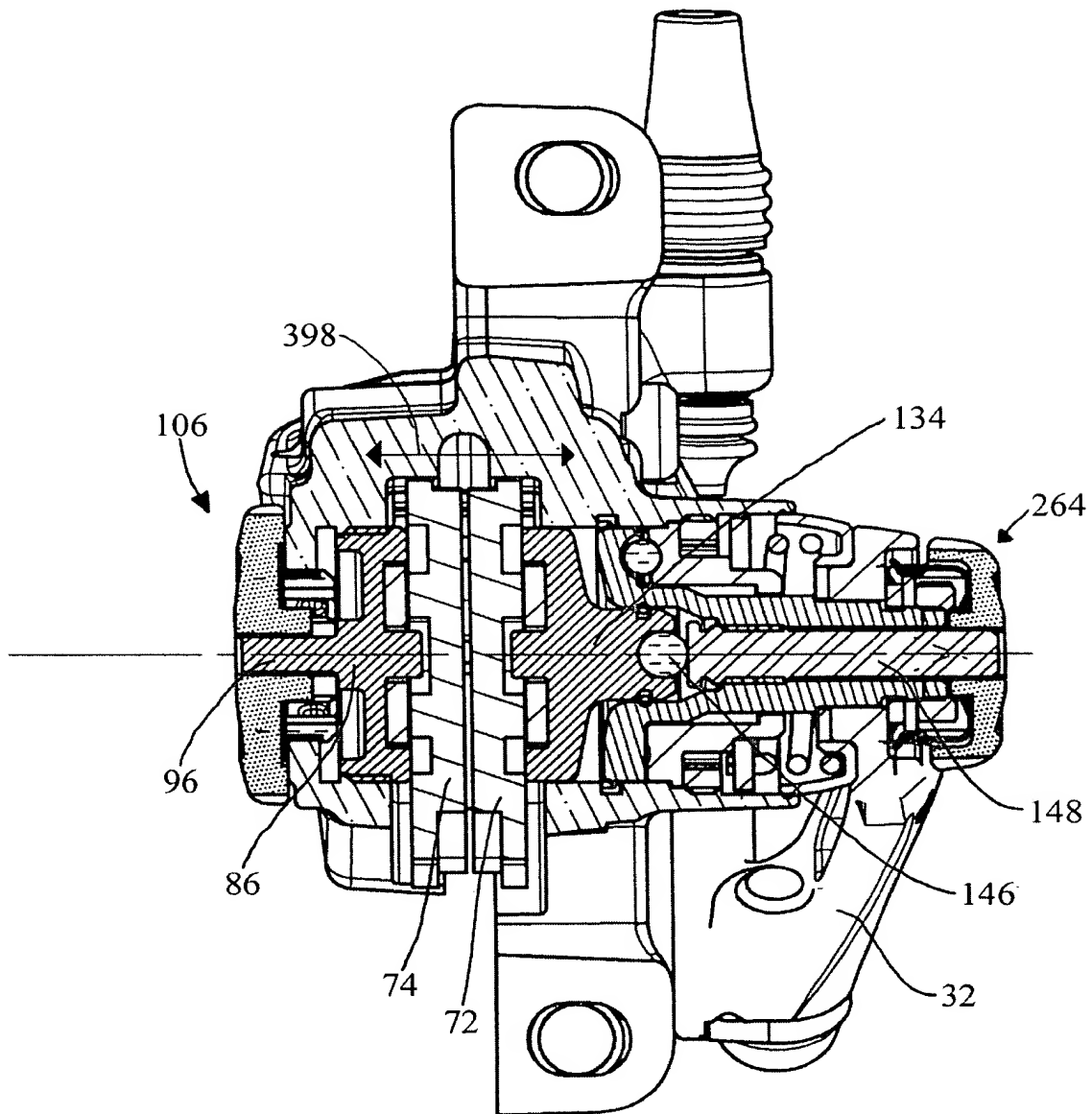


Fig. 6



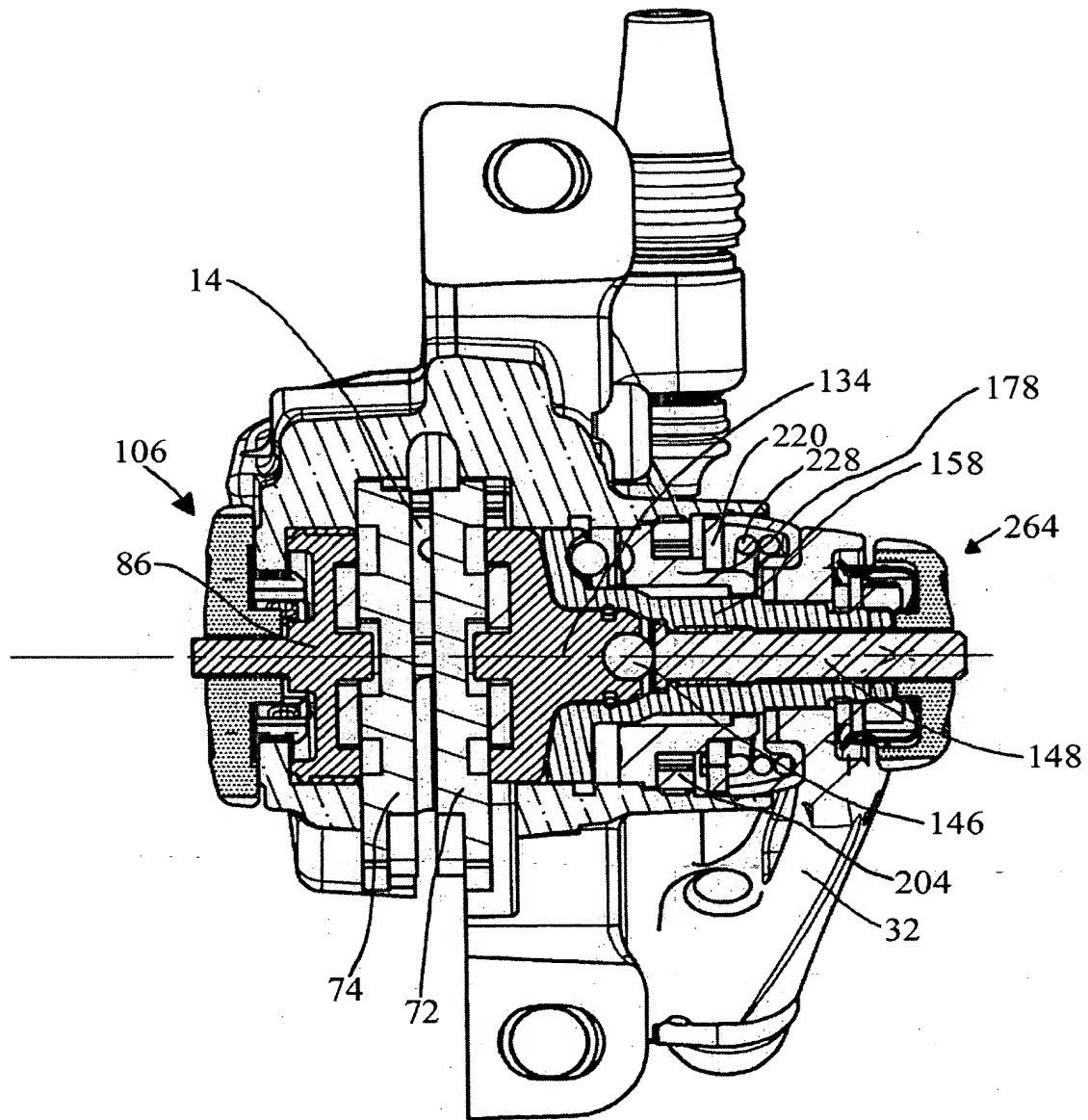


Fig. 7

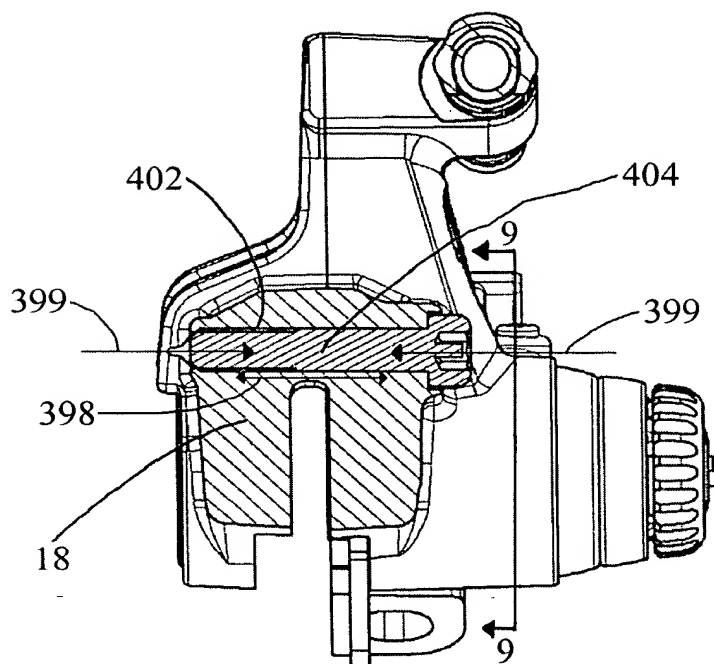


Fig. 8

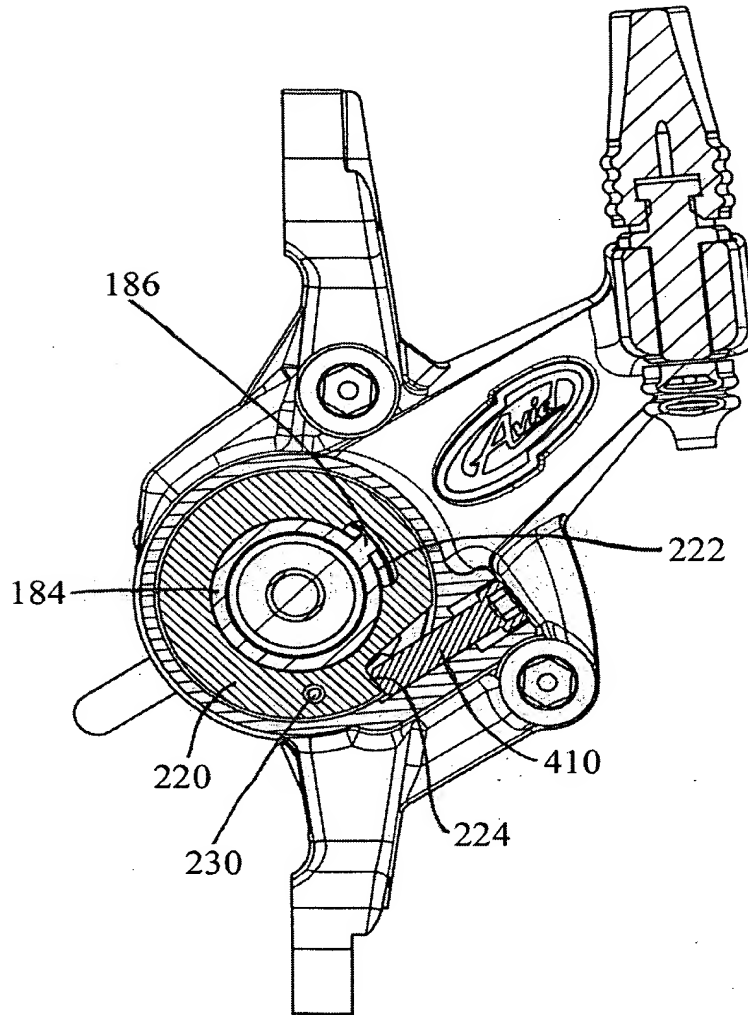


Fig. 9

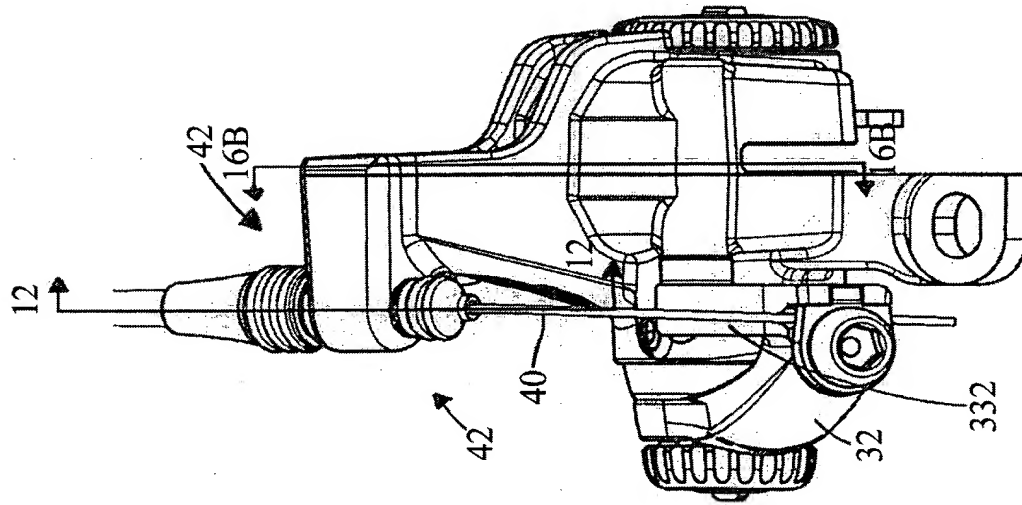


Fig. 10

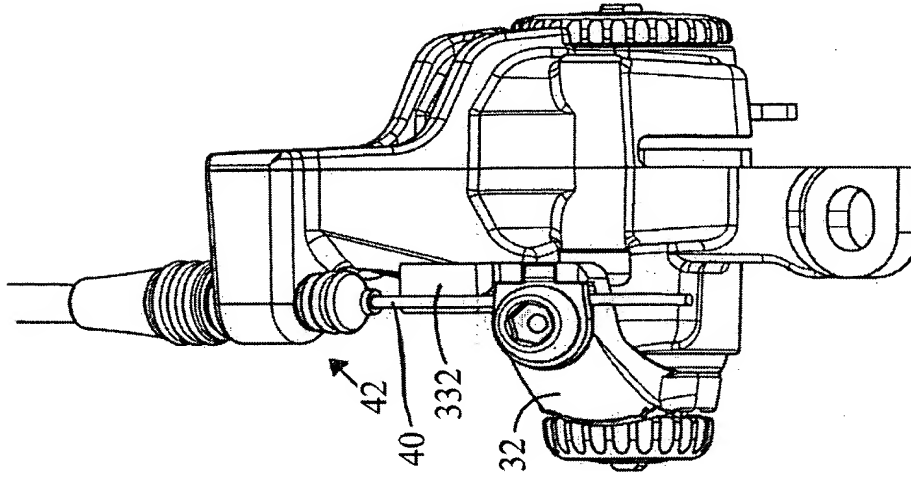


Fig. 11

FIG. 10 3/25/2015

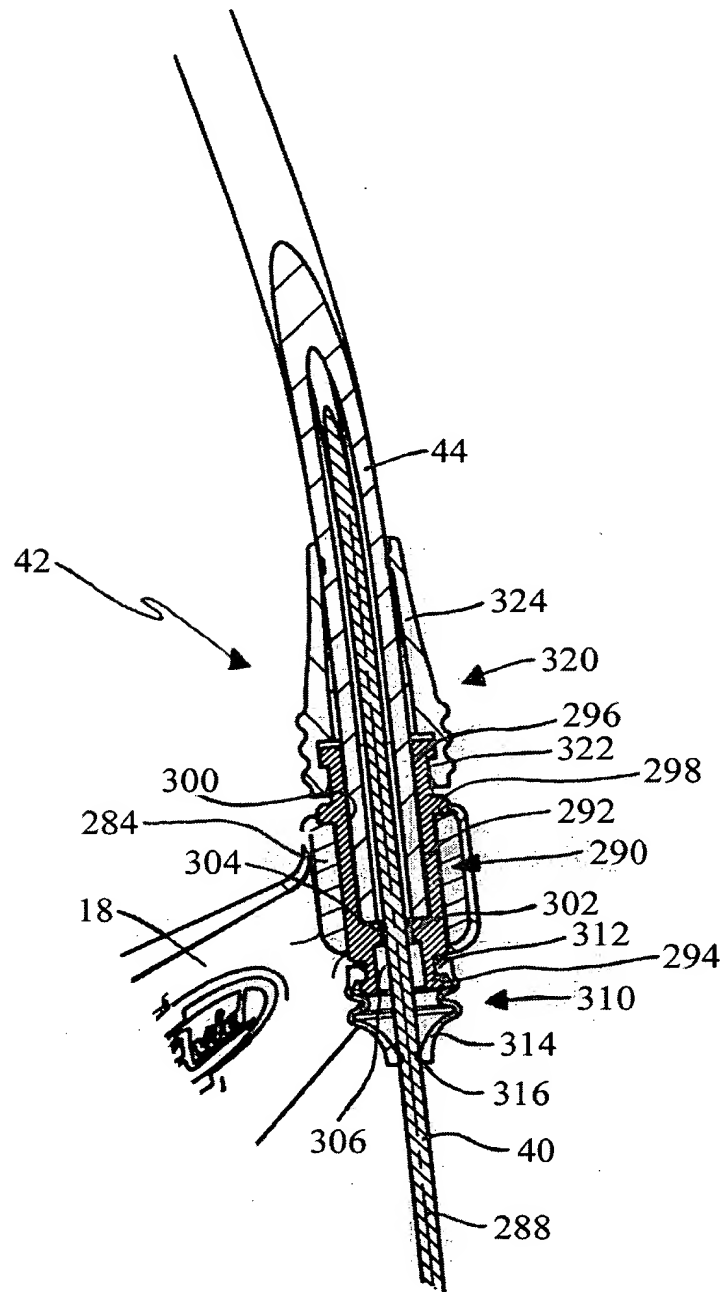


Fig. 12

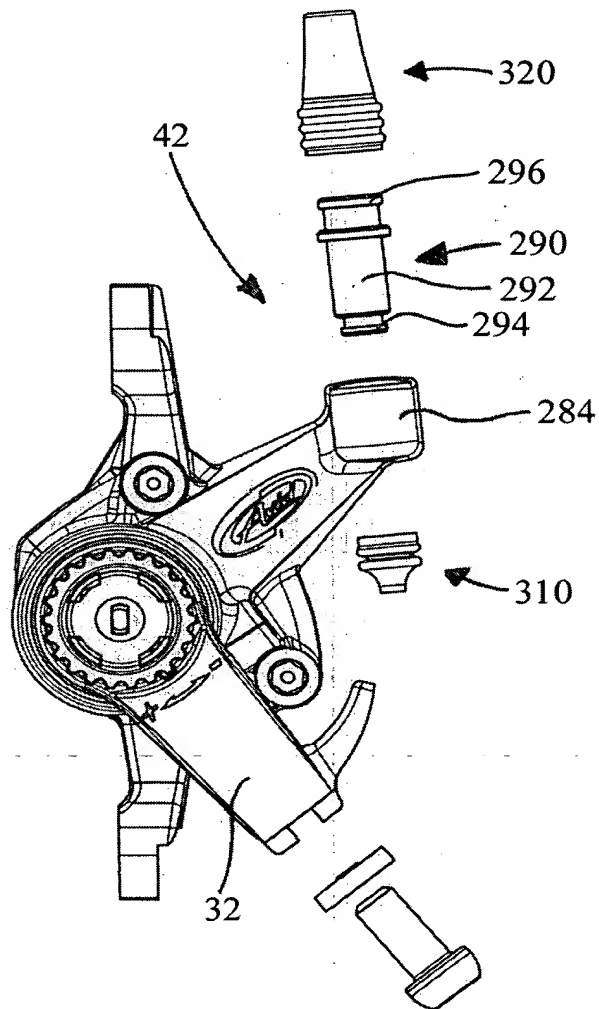


Fig. 13

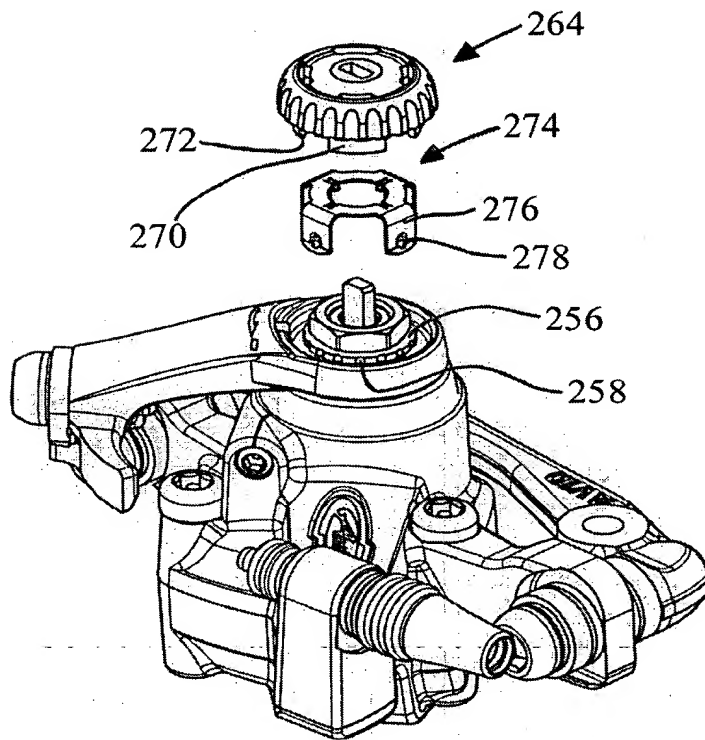


Fig. 14

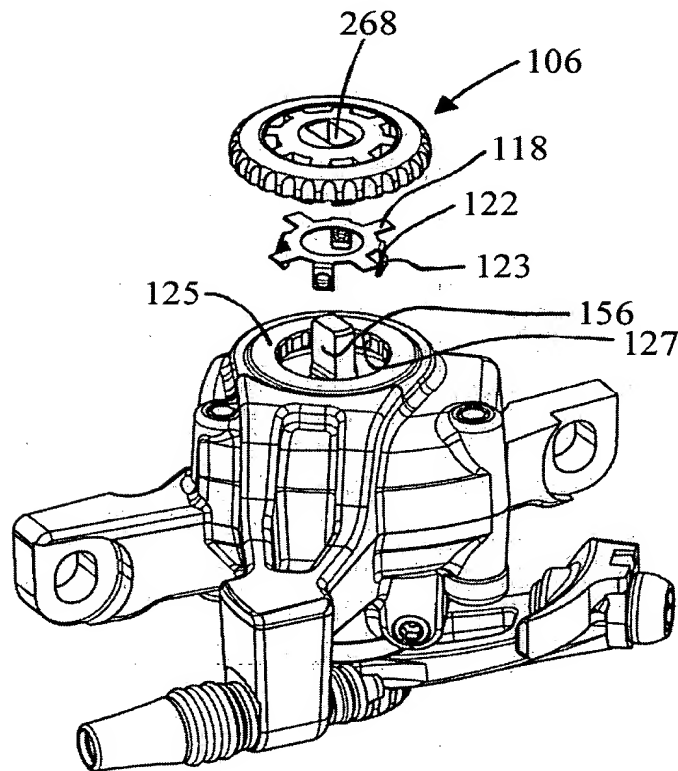


Fig. 15



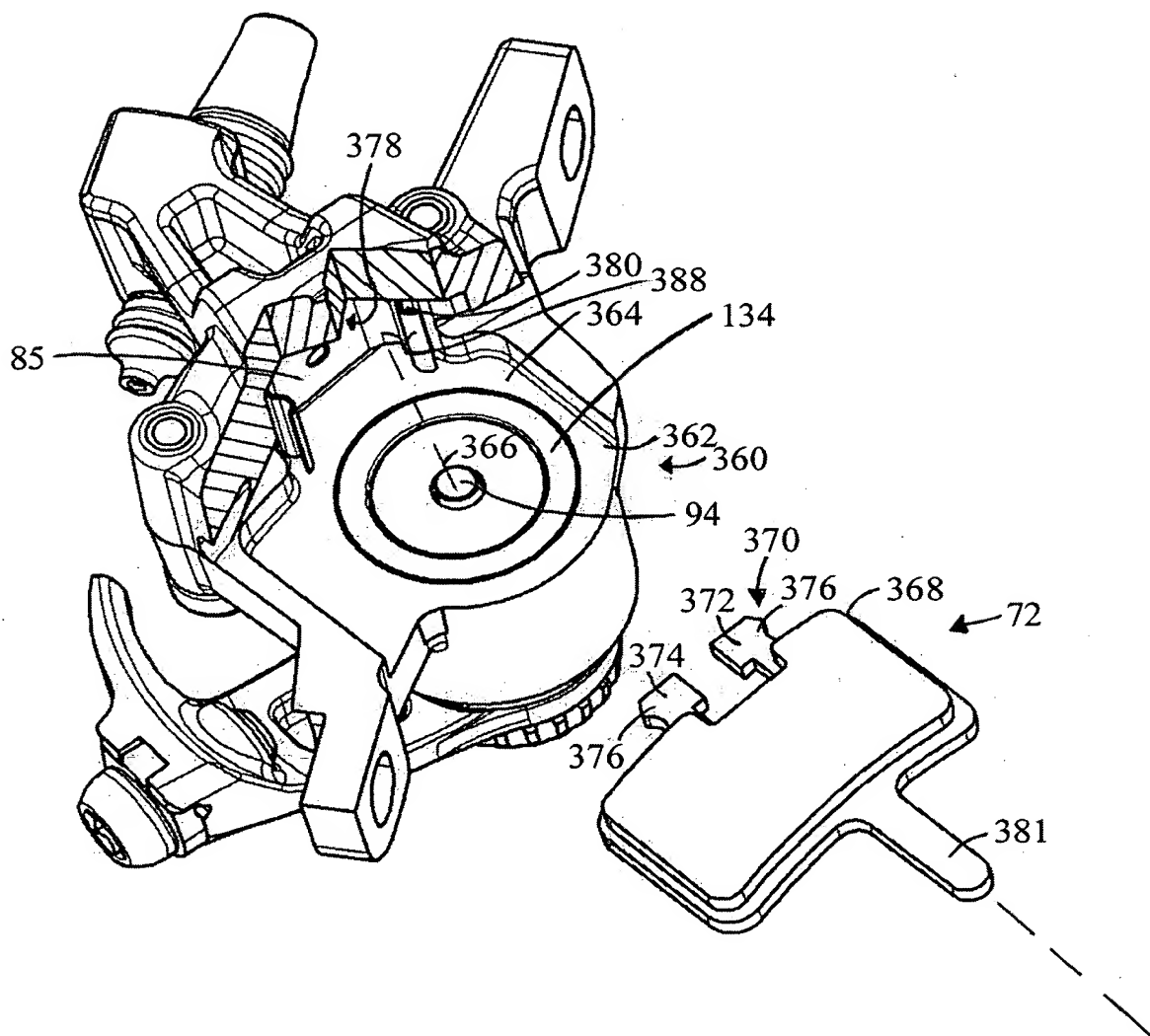


Fig. 16A

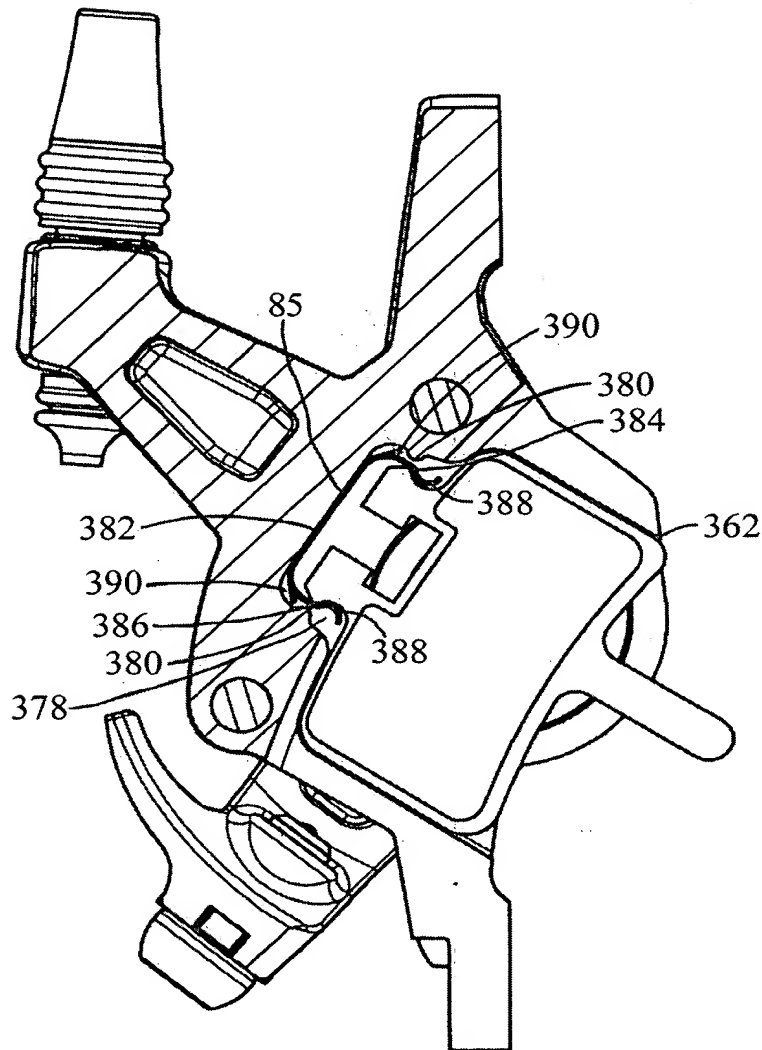


Fig. 16B

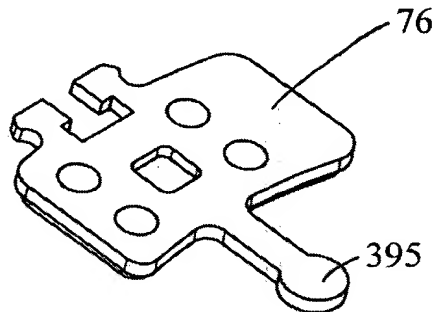


Fig. 17A

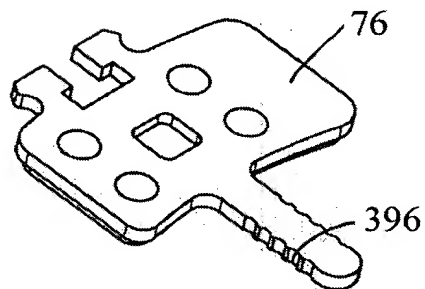


Fig. 17B

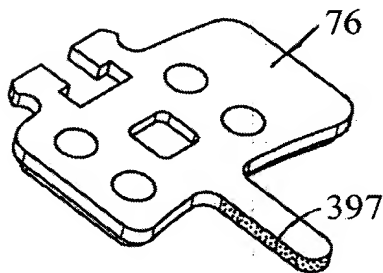


Fig. 17C

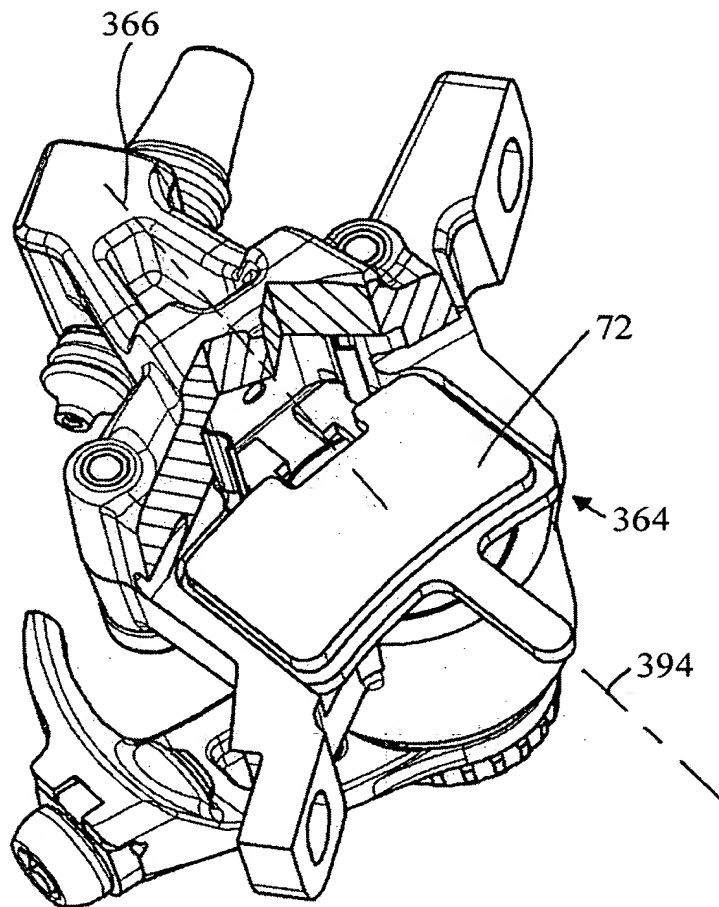


Fig. 18

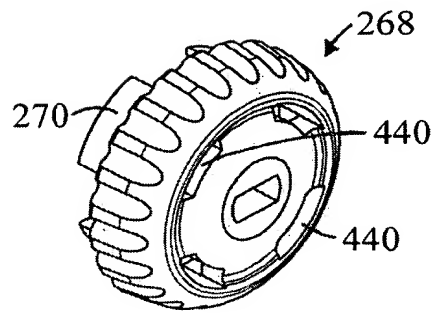


Fig. 19

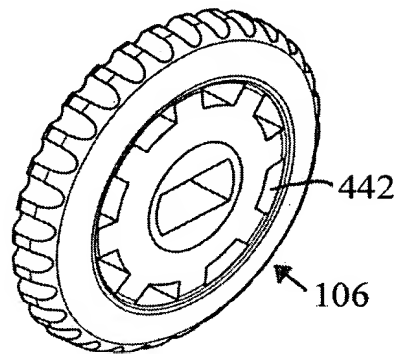


Fig. 21

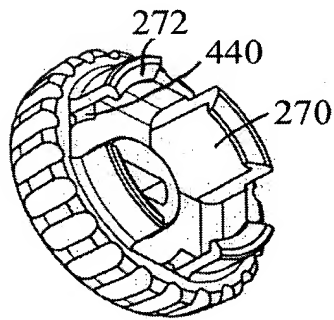


Fig. 20

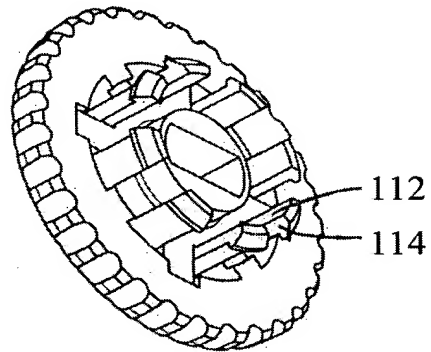


Fig. 22

FIG. 19

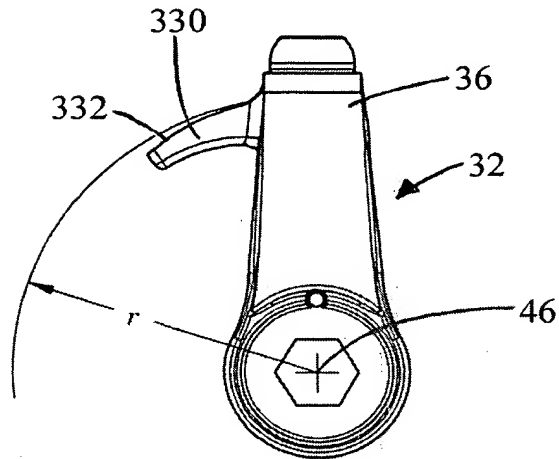


Fig. 23

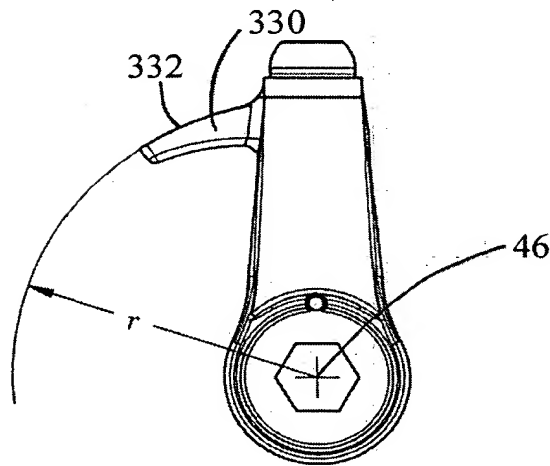


Fig. 24

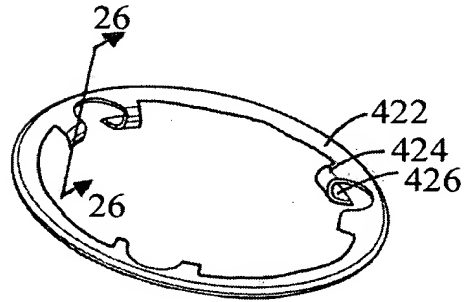


Fig. 25

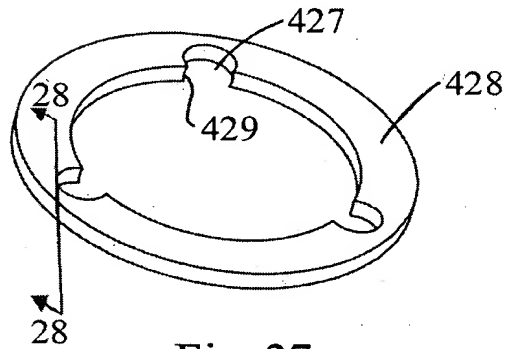


Fig. 27

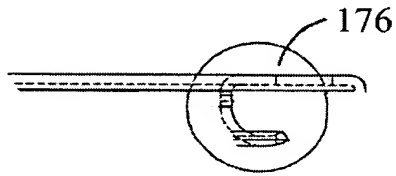


Fig. 26

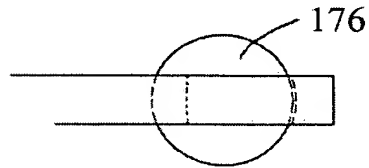


Fig. 28

FIG. 25

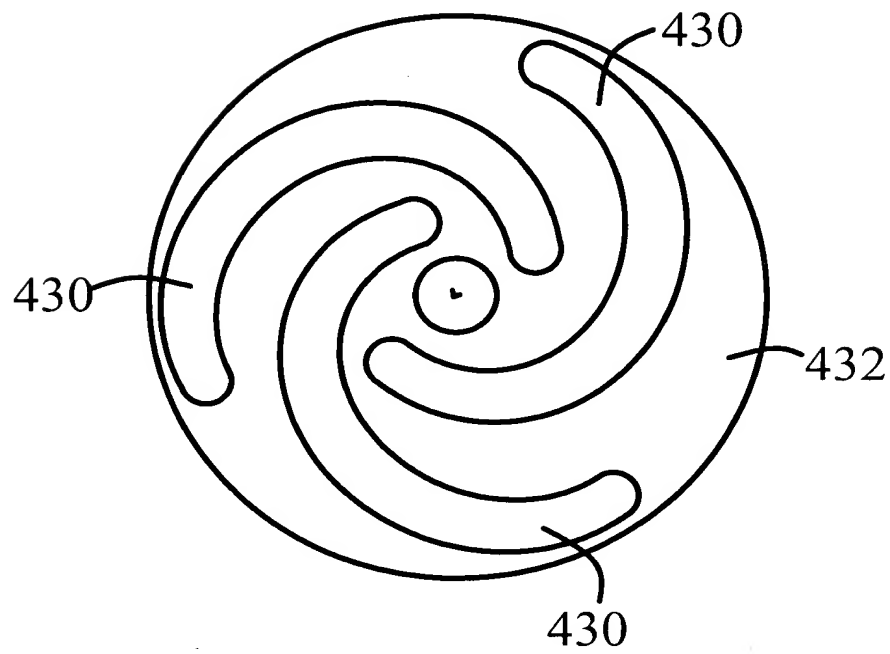


Fig. 29